

Amino-Carbonyl 反應에 미치는 溫度의 影響

金容年·金昌陸·韓康完*·吳成基

慶熙大學校 產業大學, *全北大學校 農科大學

(1982년 1월 15일 수리)

Effect of Temperature on Amino-Carbonyl Reaction

Yong Nyun Kim, Chang Mok Kim, Kang Wan Han*, Sung Ki Oh

Kyung Hee University, Seoul 131, *Jeonbuk National University, Jeonju 580, Korea

(Received January 15, 1982)

Abstract

The thermal degradation of 0.05M glucose-arginine model system was occurred during heat treatment for 0~7 hours at 60~120°C, and the melanoidin formation was investigated as a function of temperature. The decomposition reaction of glucose and arginine, as well as the reaction of melanoidin formation, followed first-order kinetics, except the reaction at 120°C, and the rate constants ($\text{hr}^{-1} \times 10^3$) of those reactions were ranged from 14.20 to 837.10. Temperature dependence of the rate constants was characterized by the Arrhenius equation, except the reaction at 120°C. The ranges of activation energy and Q_{10} values were 12.122~18.142 kcal/mole and 1.65~2.12, respectively.

序論

食品의 색깔은製品의品質뿐 아니라嗜好를刺戟하는主要한要因으로서加工食品中에 많이 일어나는非酵素的褐變反應인 amino-carbonyl反應에 대한研究는 많다. 최근 amino-carbonyl反應의主生成物인 melanoidin色素가抗酸化作用이 있다^{1,2)}는 사실이 밝혀졌으며 이反應은食品學의面에서뿐만 아니라老化抑制作用과도關係된다³⁾는점에서醫學의面으로도 중요한 의미를 갖고 있다. 따라서著者들은食品中에 가장 많이 존재하는 glucose와 arginine을 시료로 하여 glucose-arginine model system을 만들어處理溫度 및時間에 따른非酵素的褐變反應의 영향을 반응속도론적으로 조사하였다. 處理溫度 및時間에 따라分解되는 glucose와 arginine의含量變化는 分析用HPLC로써定量하였으며, 이 때生成되는 melanoidin色素는 spectrometric方法에 의하여色相의吸光度(OD)變化를 측정하였다. 分解되는 glucose와 arginine의含量變化와生成되는 melanoidin色素의强度로

써反應速度常數와半減期를求하였으며Arrhenius plot에 의한活性化에너지(E_a)와 Q_{10} 값 등을 결정하였다. 非酵素的褐變反應에生成되는 roasted-nutty flavor인 pyrazine과褐變色素의 전구체로 알려진 5-hydroxymethyl-2-furfural(HMF) 및 furfural은 각각 278nm^{5,7)}와 285nm^{8,9)}의紫外線部位에서, 또褐變色素는 400~490nm의可視光線部位에서 측정하였으며 그處理溫度와時間에 따라有意性있는結果를 얻었기에報告한다.

材料 및 方法

1. 材料

model system에 使用한 glucose와 arginine은 sigma製1급시약을, HPLC分析을 위한 히드로인誘導體(PTH-amino acid)合成에 使用한 phenylisothiocyanate 및 pyridine은 Sigma製특급시약을, 또 glucose 및 PTH-amino acid의 分析에 사용한 authentic standards 및 HPLC分析用移動相에 사용한試藥은 모두특급시약을 使用하였다.

2. 方 法

1) 褐色化反應의 誘導

0.1M glucose 水溶液과 0.1M arginine 水溶液을 同量 섞어 0.05M glucose-arginine model system 을 1000 ml 만든 다음 pH 7.0이 되도록 조정하였다. 이 model system 을 삼각 flask에 150 ml 씩 넣고 Al-foil로 덮은 후 각 温度別(60, 80, 100, 120°C)로 조정된 烈에 넣고 일정시간(0, 1, 3, 5, 7時間)씩 烈處理하였다. 이때 일정시간 烈處理 後 메스실린더에 옮겨 증류수로써 일정량이 되도록 하여 잘 섞은 후 20 ml 씩 Sampling 하였다.

2) glucose 및 arginine의 定量

① PTH-amino acid의 合成 : 시험판에 각 温度 및 时间別로 处理된 反應物과 試液(PITC) 5 ml 씩을 넣고 Fig. 1의 方法에 따라 PTH-arginine 을 合成하였다. 이때 아미노산의 폐널히 단토인 誘導體를 만드는 反應式 은 다음과 같다.

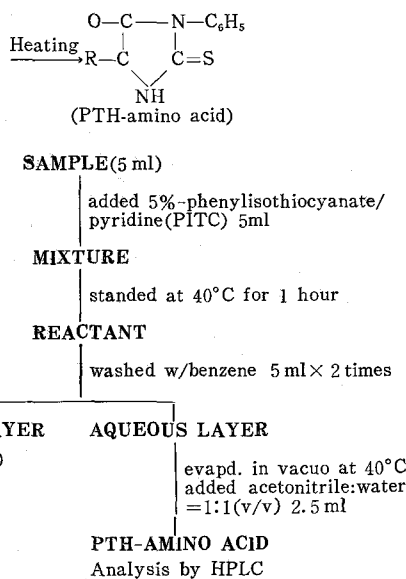
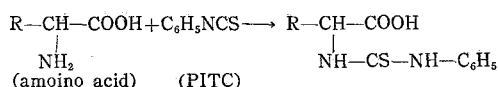


Fig. 1. Flow chart of PTH-amino acid synthesis.

② HPLC의 分析條件 : Glucose의 含量은 崔⁹⁾ 등의 方法에 따라 反應液 自體를 HPLC 分析用 시료로 使用하였고, PTH-arginine의 含量은 金¹⁰⁾ 등의 方法에 따라 5% phenylisothiocyanate로써 合成한 PTH-arginine 溶液을 HPLC 分析用試料로 사용하였다. 分析에 사용한 HPLC는 分析用인 ALC-244(Waters Associates

Inc., Milford, MA., U.S.A)로써 分析條件은 다음과 같다.

glucose의 分析條件

Packing & column; carbohydrate analysis
(4.0 mm ID×30 cm)

Mobile phase; acetonitrile-water/82-18(v/v)

Flow rate; 1.8 ml/min

Detector; RI, attenuation 8×

PTH-arginine의 分析條件

Packing & column; μ Bondapak C₁₈
(4.0mmID×30cm)

Mobile Phase; acetonitrile-0.01M sodium acetate
(pH 4.0)/90-10(v/v)

Flow rate; 1.5 ml/min

Detector; UV absorbance-440 at 280 nm, 0.5 aufs
(Waters, Data Module)

특히 PTH-arginine의 acetonitrile 용액에서의 UV吸收 spectrum은 Fig. 2에서 보는 바와 같이 278nm 부근에서 最大吸收值를 나타내므로 PTH-arginine 分析에 使用한 UV-detector의 波長은 280nm 를 使用하였다.

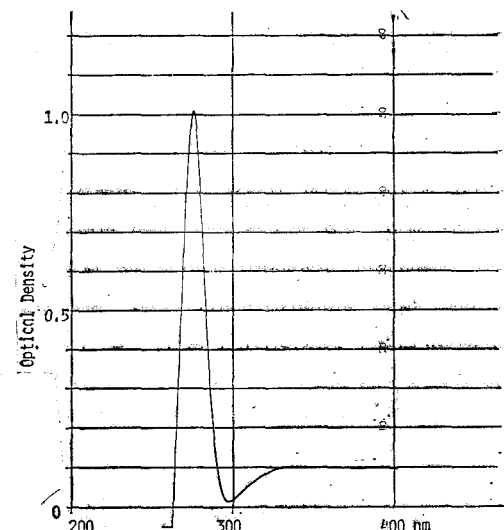


Fig. 2. Ultraviolet absorption spectrum of PTH-arginine in acetonitrile.

③ glucose 및 PTH-arginine 定量 : HPLC에 注入하기 전에 0.45 μm membrane filter로 여과하였으며 시료용액의 peak 면적을 半值法으로 計算하였다. 또 glucose 및 PTH-arginine의 標準溶液(5 mg/ml)을 사용하여 標準檢量線을 作成하여, 시료용액의 peak 면적으로써 計算하여 比較, 定量하였다.

3) 色相變化의 测定

0.05M glucose-arginine model system의 色相變化는 處理溫度 및 時間에 따라 反應이 完了된 反應液을 spectrophotometer UV-200S(Shimadzu co., Japan)로 芳香成分인 pyrazine은 278nm에서 褐變前驅物質인 共軛二重結合 carbonyl 化合物 및 褐變中間生成物인 HMF, furfural 등은 285nm에서, 褪變색소는 400nm에서, amino-carbonyl 反應 生成物인 melanoidin 色素는 490nm에서 각각 測定하였다.

4) 反應速度常數 및 半減期의 決定

熱處理溫度 및 時間에 따른 glucose 및 arginine의
含量變化를 semi-log paper에 plot하여 分解되는
glucose 및 arginine의 分解速度常數(k) 및 生成되는
melanoidin의 生成速度常數(k)을 最小自乘法으로 求
하였으며 (1), 이 常數로부터 半減期($t_{1/2}$)을 計算하였다(2).

$$C = \text{Coexp}(-kt) \dots\dots\dots(1), \quad t_{1/2} = \ln 2/k \dots\dots\dots(2)$$

5) 活性化에너지 및 Q_{10} 값의決定

活性化에너지(E_a)는 速度常數(k)와 溫度의 逆數($1/T$)로부터 Arrhenius plot에 의하여 最小自乘法으로 求하였다(3). 또 Q_{10} 값은 $70\sim80^\circ\text{C}$ 를 기준으로 하여 活性化에너지(E_a)로써 다음 식(4)에 따라 求하였다.

結果・考察

1. glucose 및 arginine 의 含量變化

處理溫度 및 時間에 따라 反應시킨 시료중의 glucose 및 arginine의 含量을 定量하였는데 이 때의 HPLC chromatogram 은 Fig. 3 및 Fig. 4와 같다.

Fig. 3에서 보는 바와 같이 glucose는 異性化現象이 일어나고 있는데 60°C에서는 5時間, 80°C에서는 3時間, 100°C 및 120°C에서는 반응 1時間後부터 異性化現象이 나타나 glucose의一部가 fructose로變化하고 있다. 또 Fig. 4를 보면 standard PTH-arginine은 RT가 6.68이던 것이 실제試料(100°C, 3時間處理後)에서는 RT가 6.86으로 조금 오른쪽으로 shift되고 있다. 그러나 分離能은 아주 양호하였다. 處理溫度 및 時間에 따른 glucose 및 arginine의含量變化는 Fig. 5에서 보는 바와 같다. glucose는 7時間反應시켰을 때 60°C에서는 30%, 80°C에서는 45%, 100°C에서는 78%, 120°C에서는 82%의 減少現象을 나타냈으며 glucose의 分解反應은 80°C 이하에서는 직선關係를 나타내서 1차반응임을 알 수 있었으나, 100°C 이상에서

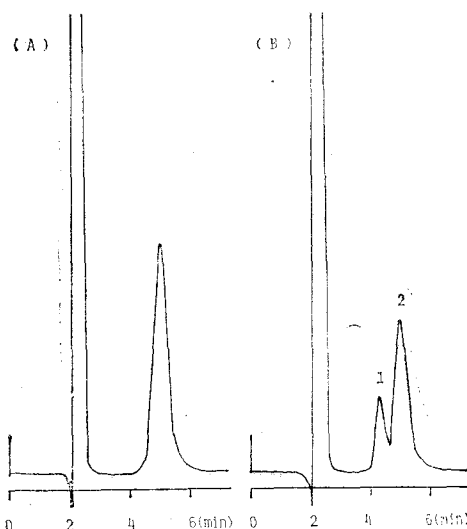


Fig. 3. HPLC chromatograms of glucose; (A) standard glucose and (B) 1-fructose & 2-glucose of glucose-arginine model system at 100°C for 3 hours.

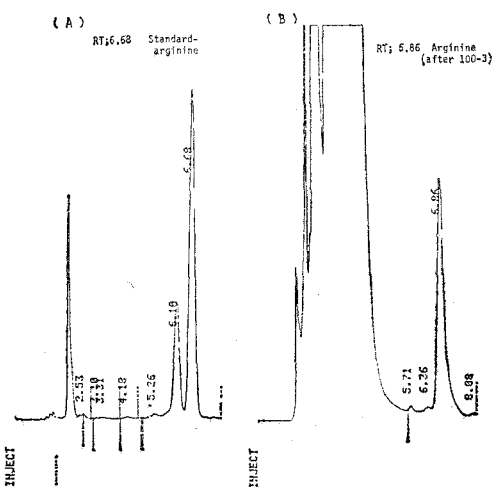


Fig. 4. HPLC chromatograms of PTH-arginine; (A) standard PTH-arginine and (B) PTH-arginine of glucose-arginine model system after 100°C-3 hours.

는 반응 1時間 을 기점으로 하여 2개의 직선관계를 나타내므로 2相 1次反應(two-phase first order reaction)임을 알 수 있었다. arginine의 含量變化는 反應 7時間 後에 60°C에서는 15%, 80°C에서는 25%, 100°C에서는 68%, 120°C에서는 76%의 減少現象을 나타내고 있다. arginine의 分解反應은 모두 직선관계를 나타내므로 1次反應(first order reaction)임을 알 수 있

었다. 따라서 含量變化를 比較하여 보면 glucose가 arginine보다 amino-carbonyl 反應에 의한 melanoidin 色素形成에 더 많이 관계하는 것으로 생각된다.

2. 色相의 變化

處理溫度 및 時間에 따른 色相變化는 Table 1과 같다. 芳香成分으로 알려진 pyrazine의 生成을 보면 60°C 및 80°C에서 3時間동안 處理하였을 때에는 큰 變化가 없으나 80°C에서 5時間處理한 後부터 增加하기 시작하였으며 100°C 및 120°C에서 3시간동안 處理하였을 때 가장 높은 값을 나타내고 있다. 그러나 100°C 및 120°C에서 5時間이상 處理하였을 때 增加되지 않

Table 1. Comparisons of optical density of 0.05M glucose-arginine model system at various temperatures and reaction times.

Temperature & hours (°C-hours)	Optical density(O.D.)				
	278nm	285nm	400nm	490nm	285/490
Control	0.095	0.080	0.040	0.050	1.60
60-1	0.091	0.072	0.039	0.049	1.46
60-3	0.122	0.103	0.043	0.053	1.94
60-5	0.199	0.168	0.048	0.054	3.11
60-7	0.263	0.231	0.055	0.055	4.20
80-1	0.088	0.071	0.038	0.048	1.47
80-3	0.376	0.352	0.069	0.058	6.06
80-5	1.428	1.407	0.125	0.071	19.81
80-7	1.244	1.241	0.245	0.102	12.16
100-1	1.504	1.576	0.282	0.108	14.59
100-3	8.394	8.874	2.475	0.608	14.59
100-5	6.021	7.209	3.618	0.837	8.61
100-7	7.329	7.704	3.741	0.880	8.75
120-1	2.637	2.754	0.467	0.148	17.39
120-3	8.202	8.628	2.439	0.628	13.73
120-5	5.814	6.057	3.040	0.865	7.00
120-7	4.902	5.71	3.790	1.090	5.24

고 오히려 減少하는 傾向을 나타내므로 芳香成分의 生成은 100°C 및 120°C에서 약 3시간동안 處理하였을 때 거의 生成이 完了되는 것으로 생각된다. 또 갈변색 소의 전구물질로 알려진 공액이 중결합을 갖는 Cabonyl 化合物 및 갈변중간생성물인 HMF 및 furfural 等도 pyrazine 生成과 거의 같은 傾向을 나타내고 있으며 amino carbonyl 反應의 主生成物인 melanoidin 色素生成과는 有異性 있는 관계를 보여주고 있다. 또 285nm 에서의 갈변전구물질 및 중간생성물과 490nm에서의 melanoidin 色素와의 比(285/490)를 보면 處理溫度 및 時間의 經過에 따라 차차 增加하다가 100°C 및 120°C에서 5시간이상 處理하였을 때 急激한 減少現象을 나타내는 것으로 보아, 褐變이 거의 완료된 것으로 생각된다. 또 處理溫度 및 時間에 따라 生成되는 melanoidin

의 含量變化를 semi-log에 plot한 結果는 Fig. 5와 같다. melanoidin色素의 生成反應은 60°C 및 80°C에서는 直線關係를 나타내므로 1차반응임을 알 수 있으나 100°C 및 120°C에서는 반응 3시간을 기점으로 하여 2개의 直線關係를 나타내므로 2相1次反應임을 알 수 있었다.

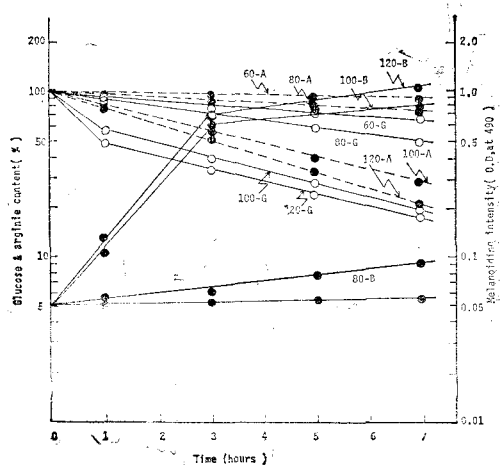


Fig. 5. Interrelationship between the changes in glucose-arginine model system on browning reaction for formation of melanoidin; G, glucose; A, arginine; B, brown color.
※ 60, 80, 100 and 120 indicates treated temperatures

3. 反應速度常數 및 半減期의 變化

處理溫度 및 時間에 따른 glucose 및 arginine의 分解反應速度常數와 이에 따른 半減期 및 melanoidin 生成反應의 速度常數를 求한 結果는 Table 2와 같다. glucose와 arginine의 分解速度常數는 100°C 및 120°C에서 현저한 增加現象을 나타내어, 分解反應이 急激히 일어나고 있음을 알 수 있다. 또 半減期의 變化를 보면 100°C 이상에서는 glucose는 1.3~1.0時間, arginine은 3.9~3.6時間으로 나타나 이를 物質의 分解反應이 主로 100°C 이상에서 일어남을 알 수 있고 또 glucose가 arginine보다 3倍정도 분해반응이 빨리 일어남을 알 수 있었다. melanoidin 生成反應의 速度常數를 比較하여 보면 100°C 및 120°C에서 현저한 增加現象을 보여주고 있는데 60°C에서보다 52배, 80°C에서보다 8배 이상의 높은 값을 가지므로 主로 100°C 및 120°C에서 melanoidin 生成反應이 일어나고 있음을 알 수 있었다. 100°C 및 120°C에서의 glucose의 分解反應과 melanoidin 生成反應은 2相1次反應(two-phase first

Table 2. Effect of temperatures on rate constant and half life of browning reaction in glucose-arginine model system.

Materials	Temperatures	Rate constant k(hr^{-1}) $\times 10^3$	Half life $t_{1/2}(\text{hr})$	correlation coefficient
Glucose	60°C	48.51	14.2	0.974
	80°C	88.90	7.8	0.990
	100°C	544.00 (172.00)	1.3 (4.0)	1.000 (0.995)
	120°C	673.00 (151.00)	1.0 (4.6)	1.000 (0.975)
Arginine	60°C	14.20	48.8	0.950
	80°C	39.53	17.5	0.980
	100°C	178.30	3.9	0.990
	120°C	193.00	3.6	0.959
Brown color (Melanoidin)	60°C	16.26	0.933	
	80°C	98.30	0.963	
	100°C	837.10 (92.43)	0.996 (0.921)	
	120°C	826.20 (159.70)	0.994 (0.999)	

* Scores in parentheses indicate two-phase first order reaction.

order reaction)을 보여주고 있으며 활성화 에너지의 값을 나타낸다.

4. 活性化에너지 및 Q_{10} 값의 變化

glucose-arginine model system의 反應速度常數의 温度依存性을 究明하기 위하여 分解되는 glucose 및 arginine의 含量變化와 生成되는 melanoidin 色素의 強度로써 semi-log paper에 plot한結果는 Fig. 6과 같다.

Table 3. Effect of temperature on rate constant, activation energy, and Q_{10} value of browning reaction in glucose-arginine model system.

Materials	Temperatures				Arrhenius coefficients		Q_{10} Value (70~80°C)	Correlation coefficient r
	60°C	80°C	100°C	120°C	Ea(kcal/mole)	k_0^*		
Glucose	48.51	88.90	554.00 (172.00)**	673.00 (151.00)	12.512 (5.326)	15.978 (5.214)	1.68 (1.25)	0.959 (0.927)
Arginine	14.20	39.53	178.30	193.00	12.122	14.328	1.65	0.966
Brown color (melanoidin)	16.26	98.30	837.10 (92.43)	826.20 (159.70)	18.142 (3.909)	23.804 (9.862)	2.12 (1.45)	0.958 (0.894)

* : frequency factor

** : scores in parentheses indicate two-phase first order reaction

arginine의 分解反應과 melanoidin 生成反應의 活性化 에너지(E_a) 및 Q_{10} 값을 나타낸 것이다. glucose 및 arginine의 分解反應에 對한 活性化 에너지는 12.512 kcal/mole 및 12.122 kcal/mole이고 melanoidin 生成反應의 活性化 에너지는 18.142 kcal/mole로서 melanoidin의 生成反應은 glucose 및 arginine의 分解反應보다 温度에 더 민감한 영향을 받고 있음을 알 수 있다. 또 Q_{10} 값에 있어서도 glucose 및 arginine의 分解

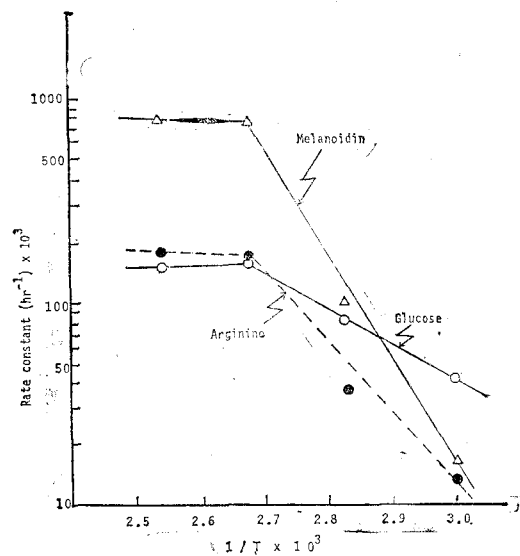


Fig. 6. Arrhenius plots of the rate constant vs. temperature on browning reaction of glucose-arginine model system.

Fig. 6에서 보는 바와 같이 處理溫度 100°C까지는 직선관계를 나타내므로 glucose와 arginine의 분해반응과 melanoidin의 生成反應은 Arrhenius式에 따르는 것을 알 수 있었다. 그러나 100°C 이상의 高溫에서는 이式에 따르지 않았다. 이러한 사실로 100°C 이상에서는 5~7時間동안에 反應이 거의 완료되는 단계에 도달하고 있음을 알 수 있었다. Table 3은 glucose 및

反應은 1.68 및 1.65인데 反하여 melanoidin 生成反應은 2.12로서 活性化 에너지와 거의 같은 傾向을 보여주고 있다.

要 約

加工食品의 가장 重要한 色素形成으로 알려진 非酵素的 褐變反應인 amino-carbonyl反應에 對한 温度의 영향을 究明하기 위하여 0.05 M glucose-arginine을

model system 으로 설정하여 處理溫度 및 時間에 따라 分解되는 glucose 및 arginine 의 含量變化와 生成되는 melanoidin 色素의 強度로서 反應速度常數와 半減期를 求하였으며, 또 Arrhenius 式에 따라 反應速度常數의 溫度依存性을 調査하였다.

1. 處理溫度 및 時間別로 分解되는 glucose 및 arginine 的 定量은 carbohydrate analysis 및 μ Bondapak C₁₈ column 을 使用한 HPLC 를 利用함이 効果的이었다.

2. glucose 및 arginine 的 分解反應은 100°C 및 120°C에서의 glucose 를 제외하고는 모두 1次反應에 따랐으나, 100°C 이상에서의 glucose 에 있어서는 2相 1次反應(two-phase first-order reaction)에 따랐다. 또 melanoidin 生成反應에 있어서 60°C 및 80°C에서는 1次反應에 따랐으나 100°C 이상에서는 역시 2相 1次反應에 따랐다.

3. glucose-arginine 反應에 의한 melanoidin 色素의 生成反應은 100°C 및 120°C에서 3~5時間동안에 거의 완성단계에 있었으며 100°C 이상에서는 거의 差가 없었다.

4. glucose 및 arginine 的 分解反應과 melanoidin 的 生成反應의 速度常數가 100°C 및 120°C에서 현저한 增加現象을 나타내므로 amino-carbonyl 反應에 依한 褐色色素形成은 100°C 이상의 고온에서 심하게 일어남을 알 수 있었다.

5. glucose 및 arginine 的 分解反應과 이에 따른 melanoidin 的 生成反應에 對한 反應速度常數의 溫度依存性은 100°C 이하에서는 Arrhenius 式에 따랐으나

120°C 이상의 高溫에서는 이에 따르지 않았다.

6. glucose 및 arginine 分解反應의 活性化에너지 는 각각 12.512 kcal/mole 과 12.122 kcal/mole 로서 거의 비슷하고 melanoidin 生成反應의 活性化에너지 는 18.142 kcal/mole 로서 melanoidin 生成反應의 溫度에 더 민감함을 보여주었다.

文 獻

- 市川朝子, 藤井聰, 河本正彦: 日本食品工業學會誌, 22(4), 159(1975)
- 山口直彦, 藤巻正生: 日本食品工業學會誌, 21(1), 6(1974), *ibid*, 20(11), 507(1973), *ibid*, 20(10), 485(1973)
- 李聖洙, 李哲, 金東勲: 韓國食品科學會誌, 7(1), 43(1975)
- kawashima S.: *Nagoya J. med. sci.* 32, 303 (1970)
- 崔鎮浩, 金友政, 朴吉童, 成絢淳: 高麗人蔘學會誌, 4(2), 165(1980)
- Koehler, P.E., Mason, M.E. and Newell, J.A.: *J. Agr. Food chem.*, 17(2), 393(1969)
- Shibamoto, T and Berzhard, R.A.: *J. Agr. Food chem.* 24(4), 847(1978)
- Burton, H.S.: *J. Food sci.*, 28, 631(1963)
- 崔鎮浩, 張辰奎, 朴吉童, 朴明漢, 吳成基: 韓國食品科學會誌, 13(2), 107(1981)
- 金萬旭, 崔康注, 曹榮鉉: 人蔘研究報告書, 355, (1980)